

ИНДУЦИРУЮЩЕ ВЛИЯНИЕ S-НИТРОЗОГЛУТАТИОНА НА ЭКСПРЕССИЮ И АКТИВНОСТЬ ПОЛИПЕПТИДА, ТРАНСПОРТИРУЮЩЕГО ОРГАНИЧЕСКИЕ АНИОНЫ 1B1 В КЛЕТКАХ ЛИНИИ НерG2

**О.Н. Сучкова¹, Ю.В. Абаленихина^{1*}, А.В. Щулькин¹, П.Ю. Мыльников¹,
Ф.Т. Гаджиева¹, П.Д. Кочанова¹, М.Г. Узбеков², Е.Н. Якушева¹**

¹Рязанский государственный медицинский университет имени академика И.П. Павлова,
390026, Рязань, ул. Высоковольтная, 9; *эл. почта: abalenihina88@mail.ru

²Московский научно-исследовательский институт психиатрии, Москва

В исследовании на клетках линии НерG2 изучено влияние донора оксида азота S-нитрозоглутатиона на количество и активность полипептида, транспортирующего органические анионы 1B1 (OATP1B1), а также экспрессию гена *SLCO1B1*, кодирующего белок-транспортер. В ходе работы было установлено, что при воздействии в течение 3 ч S-нитрозоглутатион (10–500 мкМ) увеличивал экспрессию *SLCO1B1* и количество OATP1B1, что сопровождалось повышением активности белка-транспортера. Индукцию белка OATP1B1 под действием донора NO подавлял ингибитор растворимой гуанилатциклазы (рГЦ) — ODQ (1Н-[1,2,4]оксациазоло-[4,3-а]хиноксалин-1-ОН) в концентрации 10 мкМ. Таким образом, в ходе выполненного исследования установлено, что S-нитрозоглутатион, действуя через сигнальный путь NO-рГЦ-сGMP, повышает экспрессию гена *SLCO1B1*, что вызывает увеличение количества белка-транспортера и, как следствие, его активности.

Ключевые слова: OATP1B1; ген *SLCO1B1*; S-нитрозоглутатион; NO-рГЦ-сGMP-сигнальный путь

DOI: 10.18097/PBMCR1487

ВВЕДЕНИЕ

Белки-транспортеры, способные переносить эндо- и экзобиотики, играют одну из ключевых ролей в фармакокинетических процессах (всасывание, распределение и выведение), а также участвуют в переносе электронейтральных молекул небольшой массы через биологические мембранны [1, 2].

Все белки-транспортеры разделяются на две большие группы: ABC-транспортеры и SLC-транспортеры. ABC-транспортеры (англ.: ATP-binding cassette transporters, ATP-зависимые переносчики) используют энергию ATP для переноса субстратов через билипидную мембрану из цитоплазмы во внеклеточное пространство и биологические жидкости (т.н. эфлюксные транспортеры). SLC-белки (англ.: solute carrier, переносчики растворённых веществ) используют для переноса своих субстратов разность электрохимических потенциалов или ионный градиент. Именно поэтому они относятся ко вторично-активным транспортерам. В основном, SLC-транспортеры опосредуют проникновение веществ в клетки, то есть являются инфлюксными переносчиками, хотя некоторые могут функционировать как эфлюксные транспортеры или же опосредовать двунаправленный транспорт веществ. У человека на сегодняшний день идентифицировано более 550 представителей SLC-белков, которые объединены в ряд семейств. Семейство полипептидов, транспортирующих органические анионы (англ.: organic anion transporting polypeptides, OATP1) является одним из самых

изученных и клинически значимых; оно включает в себя 3 подсемейства: OATP1A, OATP1B и OATP1C [3].

Белок OATP1B1 (OATP2, OATP-C, LST-1, SLC21A6) человека представляет собой гликопротеин, состоящий из 691 аминокислотного остатка, который кодируется геном *SLCO1B1*. Транспортер обладает молекулярной массой около 84 кДа, которая после дегликозилирования уменьшается примерно до 54 кДа [4, 5].

OATP1B1 локализован в гепатоцитах, преимущественно на базолатеральной мемbrane, базальной мембране клеток Сертоли, и диффузно — в клетках Лейдига [4]. mRNA *SLCO1B1* также была обнаружена в энteroцитах, клетках рака молочной железы [6], клетках карциномы яичников [1], гепатоцеллюлярной карциноме и других опухолевых клетках [7]. Во всех данных клетках OATP1B1 выполняет единую функцию — обеспечивает перенос веществ-субстратов из крови и межклеточного пространства внутрь клеток [8].

Экспрессия *SLCO1B1*/OATP1B1 снижена в клетках гепатоцеллюлярной карциномы [9, 10], что может быть одним из механизмов их резистентности к проводимой химиотерапии: сниженное количество инфлюксного транспортера уменьшает проникновение цитостатиков — субстратов OATP1B1 — внутрь опухолевых клеток [11]. Поэтому с целью повышения эффективности проводимой химиотерапии перспективен поиск веществ, повышающих количество и активность OATP1B1 в клетках гепатоцеллюлярной карциномы.



ВЛИЯНИЕ S-НИТРОЗОГЛУТАТИОНА НА ФУНКЦИОНИРОВАНИЕ ОАТР1В1

Ранее нами было показано, что донор NO — S-нитрозоглутатион — может повышать активность и количество ABC белка-транспортера — Р-гликопротеина [12]. Поэтому мы предположили, что S-нитрозоглутатион может модулировать и другие белки-транспортеры, в частности ОАТР1В1.

Цель настоящего исследования — оценить влияние S-нитрозоглутатиона на экспрессию и активность ОАТР1В1 в клеточной линии HepG2, а также изучить его возможные механизмы.

МЕТОДИКА

Культивирование клеток

Исследование выполнено на культуре клеток HepG2 (Институт цитологии РАН, Санкт-Петербург). Клетки культивировали при 37°C и 5% CO₂ в среде Игла, модифицированной Дульбекко (DMEM), содержащей глюкозу (4,5 г/л), 4 mM L-глутамин, 10% фетальную бычью сыворотку, пенициллин (100 ЕД/мл) и стрептомицин (100 мкг/мл) (все компоненты производства “Sigma-Aldrich”, Германия). Клетки культивировали в 96-луночных и 6-луночных планшетах (“Corning”, США).

S-нитрозоглутатион (“Sigma-Aldrich”, Германия) добавляли к культуральной среде в концентрациях 1 мкМ, 10 мкМ, 50 мкМ, 100 мкМ и 500 мкМ, и клетки инкубировали 3 ч и 24 ч. К контрольным клеткам в эквивалентном объёме добавляли воду для инъекций (растворитель S-нитрозоглутатиона). Для оценки роли сигнального пути NO-рГЦ-сGMP в механизме влияния S-нитрозоглутатиона на ОАТР1В1 в питательную среду за 30 мин до добавления донора NO вносили ингибитор рГЦ — 1Н-[1,2,4]оксадиазоло-[4,3-а]хиноксалин-1-ОН (ODQ, “Sigma-Aldrich”, США) в концентрации 10 мкМ [13].

Определение количества мРНК методом ПЦР в реальном времени

Экспрессию гена *SLCO1B1* в клетках HepG2 оценивали методом ПЦР в реальном времени. Для этого клетки культивировали в 6-луночных планшетах (“Corning”). После образования монослоя их механически (с помощью скребка) снимали с лунок. Суммарную РНК выделяли с помощью набора RNeasy Mini Kit (“QIAGEN”, Германия) согласно инструкции производителя. Концентрацию РНК определяли спектрофотометрическим способом с помощью NanoPhotometr NP80-Touch (“Implen”, Германия). Реакцию ОТ-ПЦР проводили одношаговым методом с помощью набора БиоМастер ОТ-ПЦР SYBR Blue (“Биолабмикс”, Россия) в соответствии с инструкцией производителя. Условия обратной транскрипции: температура 45°C, время инкубации 10 мин, количество циклов 1.

Последовательности праймеров были подобраны с помощью программы DNASTAR Lasregene, PrimerSelect. Использовали следующие праймеры: *SLCO1B1* 5'-GGTGAATGCCAAGAGATGAG-3' (прямой) и 5'-TGGAAACCCAGTGCAAGTGATT-3' (обратный) (“Евроген”, Россия). В качестве

референсного гена, относительно экспрессии которого оценивали экспрессию *SLCO1B1*, был выбран ген, кодирующий глицеральдегид-3-фосфатдегидрогеназу (GAPDH), и следующие праймеры GAPDH: 5'-GTCCCTCTGACTTCAACAGCG-3' (прямой) и 5'-ACCACCCCTGTTGCTGTAGCCA-3' (обратный) (“Евроген”). Анализ проводили при следующих условиях температурных циклов: денатурация — нагрев реакционной смеси до 95°C, охлаждение — 53°C, элонгация — 72°C. Для работы использовали пробирки объёмом 0,2 мл в стрипах по 8 штук. Анализ проводили на амплификаторе нуклеиновых кислот Applied Biosystems Quant Studio 5 с гибридизационно-флуоресцентной детекцией продуктов ПЦР в режиме реального времени (“Life Technologies Holdings Pte. Ltd.”, Сингапур) с программным обеспечением QuantStudio Design and Analysis. Расчёт уровня экспрессии *SLCO1B1* относительно референсного гена был осуществлён с помощью программного обеспечения LinRegPCR v.11.0 (“Heart Failure Research Center”, Нидерланды).

Определение относительного количества белка ОАТР1В1 методом Вестерн-блот

Для оценки относительного количества ОАТР1В1 клетки культивировали в 6-луночных планшетах. После окончания экспозиции клетки снимали с лунок раствором трипсин-ЭДТА (0,25% трипсин и 0,2% ЭДТА, “Sigma-Aldrich”, Германия), трижды промывали раствором фосфатного буфера (“Bio-Rad”, США). Затем клетки лизировали в NP40 Cell Lysis Buffer Thermo (“Thermo Fisher Scientific”, США) с добавлением смеси ингибиторов протеиназ (“Sigma-Aldrich”, Германия) в течение 30 мин при 4°C и постоянном перемешивании из расчёта 10⁷ клеток на 100 мкл буфера. Полученный лизат центрифугировали при 5000 g (СМ-50, “Eppendorf”, Германия). Супернатант использовали для выполнения анализа.

Далее 30 мкг белков супернатанта клеточного лизата подвергали электрофорезу с использованием 7,5% TGX Stain-Free FastCast Acrylamide Kit (“Bio-Rad”) в буферной системе Laemmli (“Bio-Rad”).

Образцы смешивали с буфером Laemmli (“Bio-Rad”), содержащем 50 мМ β-меркаптоэтанола (“Bio-Rad”) в соотношении 1:3, инкубировали 10 мин при температуре 70°C. Электрофорез проводили при 100 В в течение 90 мин.

Белки переносили на нитроцеллюлозную мембрану (Trans-Blot Turbo Mini-Size nitrocellulose, “Bio-Rad”) с использованием Mini Trans-Blot (“Bio-Rad”) в течение 7 мин при 25 В и 1,3 А.

Белки на мембране блокировали 1% раствором Casein Blocker (“Bio-Rad”), содержащим 0,1% Tween в течение 1 ч при комнатной температуре.

Детекцию ОАТР1В1 проводили с использованием первичных мышиных моноклональных антител (OATP2 Polyclonal Antibody, “Invitrogen”, США) в концентрации 1:200 в блокирующем растворе в течение 2 ч при 37°C. Визуализацию первичных антител осуществляли с использованием вторичных кроличьих антител (Rabbit-anti-Mouse IgG (H+L)

Secondary Antibody, HRP, “Invitrogen”) в разведении 1:4000 и инкубацией в течение 1 ч при комнатной температуре.

Хемилюминесценцию фиксировали с помощью ChemiDocXRS+ (“Bio-Rad”). Интенсивность полученных полос (бэндов) анализировали денситометрически с помощью программного обеспечения ImageLab (“Bio-Rad”).

Молекулярная масса ОАТР1В1 была подтверждена путём сравнения с маркерами молекулярной массы (Precision plus protein standards Dual Color, “Bio-Rad”).

Содержание ОАТР1В1 оценивали относительно белка GAPDH, используя первичные антитела GAPDH Loading Control Monoclonal Antibody (GA1R), DyLight 68 (“Invitrogen”; разведение 1:1000) и вторичные кроличьи антитела — Rabbit-anti-Mouse IgG (H+L) Secondary Antibody, HRP (“Invitrogen”; разведение 1:4000).

Определение активности ОАТР1В1 методом ВЭЖХ МС/МС

Активность ОАТР1В1 анализировали по проникновению субстрата транспортера внутрь клеток HepG2. Для оценки влияния S-нитрозоглутатиона на активность ОАТР1В1 клетки культивировали в 24-луночных планшетах. После достижения монослоя к клеткам добавляли S-нитрозоглутатион в концентрациях 1 мкМ, 10 мкМ, 50 мкМ, 100 мкМ и 500 мкМ и инкубировали 24 ч при 37°C. По окончании инкубации выполняли транспортные эксперименты. Для этого клетки однократно промывали нагретой до 37°C транспортной средой, содержащей раствор Хэнкса (“Sigma-Aldrich”, Германия), забуференного 25 mM Нерес при pH 7,4 (“Sigma-Aldrich”, Германия), и 1% диметилсульфоксид (“ПанЭко”, Россия). Далее к клеткам добавляли субстрат ОАТР1В1 — аторвастатин (1 мкМ, “Sigma-Aldrich”, США). Клетки инкубировали в течение 5 мин. Реакцию останавливали удалением транспортной среды и немедленной промывкой клеток 500 мкл ледяной транспортной среды. После этого клетки трижды промывали 500 мкл ледяного фосфатного буфера (“ПанЭко”). Лизис клеток осуществляли трёхкратным циклом “заморозки-разморозки” (клетки замораживали при -80°C, затем размораживали при комнатной температуре). В полученных лизатах клеток определяли концентрацию аторвастатина методом ВЭЖХ-МС/МС [14].

Для извлечения аторвастатина из образцов к 300 мкл лизата клеток добавляли 300 мкл ацетонитрила с внутренним стандартом (10 нг/мл валсартан, “Sigma”, США), перемешивали с помощью встряхивателя Vortex (“Heidolph”, Германия). Затем образцы центрифугировали 10 мин при 4°C и 21000 g на высокоскоростной центрифуге Avanti JXN-3 (“Beckman Coulter”, США). Супернатант переносили в виалы объёмом 1 мл (“Thermo Fisher Scientific”) и помещали в автосемплер. Анализ был выполнен на высокоэффективном жидкостном хроматографе Ultimate 3000 (“Thermo Fisher Scientific”)

с tandemным масс-селективным детектором TSQ Fortis (“Thermo Fisher Scientific”), градиентным насосом, дегазатором и автосемплером.

Условия анализа на хроматографе: предколонка Selectra C18 Guard Cartridges SLC-18GDC46-5UM, хроматографическая колонка UCT Selectra C18 4,6 мм × 100 мм, 5 мкм, 100 Å, термостатирование колонки 35°C.

В работе был применён градиентный режим элюирования. Молекулы ионизировали в режиме положительной ионизации на электроспree при атмосферном давлении. Напряжение спрея составило 3500 В. Детектирование вещества проводили в следующем режиме: оболочечный газ (sheath gas) — 50 л/мин, вспомогательный газ (aux gas) — 10 л/мин, продувочный газ (sweep gas) — 1 л/мин, температурный режим трубки для переноса ионов 300°C, температура испарителя составляла 350°C. Детектирование вещества осуществляли по нижеприведённым условиям: аторвастатин — положительный режим ионизации, 559,30 $m/z \rightarrow 466,20 m/z$, энергия столкновения — 17 В, фрагментация источника — 0, CID gas (collision-induced dissociation gas) — 2 мТорр; 559,30 $m/z \rightarrow 440,20 m/z$, энергия столкновения — 32 В, фрагментация источника — 0, CID gas — 2 мТорр; валсартан 436,2 $m/z \rightarrow 206,3^* m/z$ (использовали для количественного анализа), энергия столкновения — 27 В, фрагментация источника — 0, CID gas — 2 мТорр; валсартан — 436,2 $m/z \rightarrow 234,9 m/z$, энергия столкновения — 18 В, напряжение линз — 104 В, фрагментация источника — 0, CID gas — 2 мТорр; скорость потока — 0,3 мл/мин; пробы вводили в хроматограф в объёме 2 мкл. Анализ проводили в течение 10 мин. При данных условиях время удерживания аторвастатина составило 4,53 мин, валсартана — 4,45 мин. Результаты пересчитывали на количество белка и выражали в пмоль/мг/мин.

Полученные результаты анализировали с помощью программ StatSoft Statistica 13,0, Microsoft Excel, GraphPad Prism8. Статистическую значимость различий оценивали дисперсионным анализом (ANOVA), в тексте указано точное значение критерия Фишера (F), критический уровень значимости принимали при $p < 0,05$.

Парные сравнения с контролем выполняли с помощью теста Даннетта. Результаты в таблице и на рисунках приведены в виде среднего арифметического и стандартного отклонения ($M \pm SD$). Статистически значимыми считали различия при $p < 0,05$.

РЕЗУЛЬТАТЫ

Влияние S-нитрозоглутатиона на экспрессию гена SLCO1B1

На первом этапе исследования была оценена экспрессия гена SLCO1B1 в клетках линии HepG2. Добавление S-нитрозоглутатиона во всех протестированных концентрациях 1–500 мкМ при инкубации в течение 3 ч достоверно не влияло на изучаемый показатель ($F = 2,85$, $p = 0,08$) (рис. 1а).

ВЛИЯНИЕ S-НИТРОЗОГЛУТАТИОНА НА ФУНКЦИОНИРОВАНИЕ ОАТР1В1

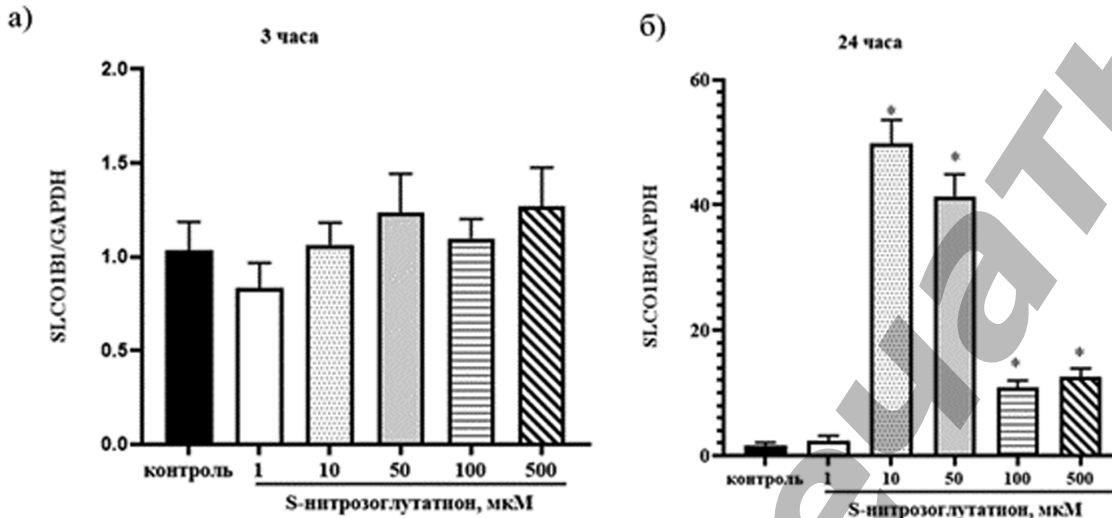


Рисунок 1. Относительная представленность ампликонов гена *SLCO1B1* в клетках линии HepG2 при воздействии S-нитрозоглутатиона в течение 3 ч (а) и 24 ч (б) по результатам количественного ПЦР-анализа в реальном времени.
* – $p<0,001$ относительно контроля.

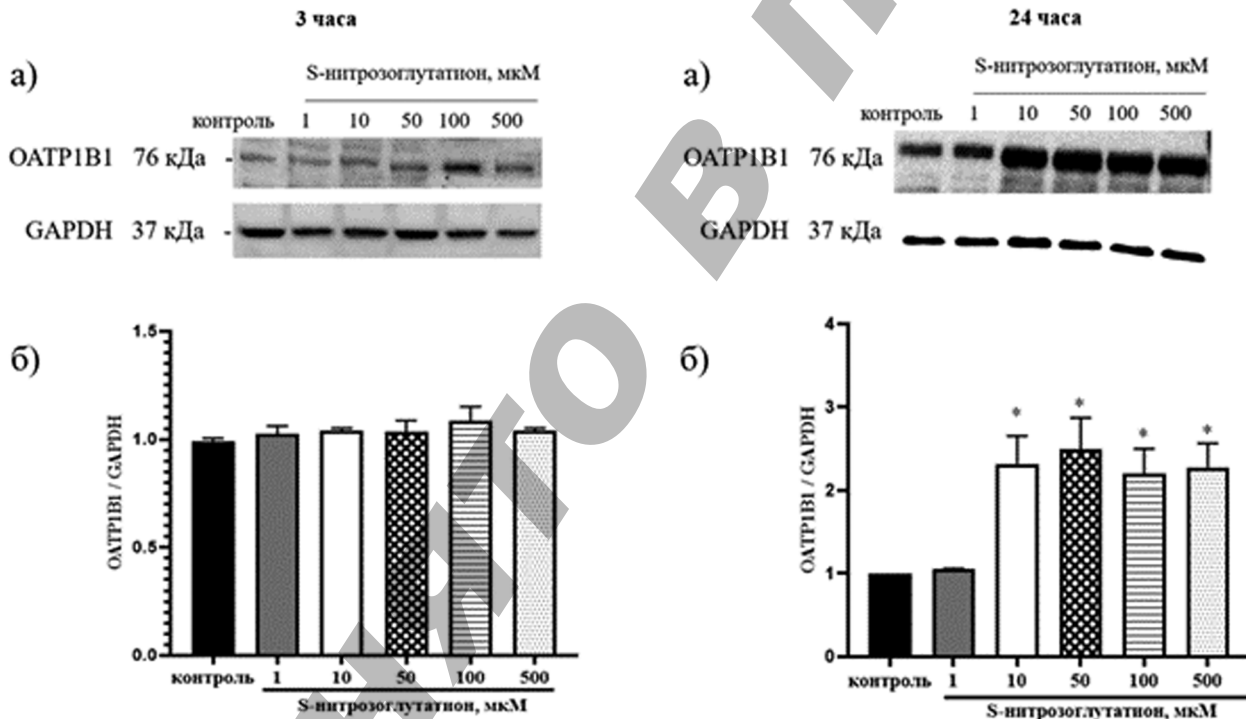


Рисунок 2. Относительное количество полипептида, транспортирующего органические анионы 1В1 (OATP1B1) в клетках линии HepG2 при воздействии S-нитрозоглутатиона в концентрациях 1-500 мкМ в течение 3 ч и 24 ч.
* – $p<0,001$ относительно контроля. Фото полос получены с помощью ChemiDocXRSt (а). Денситометрический анализ выполнен с помощью программного обеспечения ImageLab (б).

Увеличение длительности воздействия до 24 ч приводило к повышению экспрессии *SLCO1B1* ($F=225$, $p<0,0001$) под действием S-нитрозоглутатиона в концентрациях 10 мкМ, 50 мкМ в 40 раз ($p<0,0001$), а при 100 мкМ и 500 мкМ в 10 раз ($p=0,0003$) (рис. 1б).

Влияние S-нитрозоглутатиона на относительное количество белка-транспортера OATP1B1

При оценке влияния S-нитрозоглутатиона на относительное количество белка OATP1B1 были получены аналогичные результаты.

S-нитрозоглутатион во всех протестированных концентрациях 1–500 мкМ и инкубации 3 ч достоверно не влиял на относительное количество OATP1B1 ($F = 3,18$, $p=0,09$) (рис. 2а). Увеличение срока экспозиции до 24 ч приводило к тому, что относительное количество OATP1B1 при инкубации с S-нитрозоглутатионом в концентрации 1 мкМ не изменялось, а при концентрациях 10 мкМ, 50 мкМ, 100 мкМ и 500 мкМ возрастало ($F = 19,0$, $p<0,0001$) на 136,7% ($p=0,0003$), 154,1% ($p<0,0001$), 124,5% ($p=0,0006$), 131,6% ($p=0,0004$) соответственно (рис. 2б).

Влияние S-нитрозоглутатиона на активность OATP1B1

S-нитрозоглутатион в концентрациях 10 мкМ, 50 мкМ, 100 мкМ вызывал повышение проникновения аторвастатина в клетках HepG2 ($F = 10,4$, $p < 0,0005$) на 27,8% ($p=0,02$), 41,8% ($p=0,001$), 21,8% ($p=0,06$) соответственно при сроке инкубации 24 ч, и не оказывал влияния при концентрации 500 мкМ ($p>0,5$) (табл. 1).

Полученные результаты свидетельствуют о повышении активности OATP1B1 под действием S-нитрозоглутатиона.

Повышение относительного количества OATP1B1 сопровождалось увеличением активности белка-транспортера.

Таблица 1. Влияние S-нитрозоглутатиона на (пмоль/мг/мин, М±SD, n=3)

	контроль	S-нитрозоглутатион, мкМ				
		1	10	50	100	500
Концентрация аторвастатина, пмоль/мг/мин	4,78±0,49	4,62±0,36	6,11±0,13* $p=0,02$	6,76±0,77* $p=0,001$	5,82±0,41# $p=0,07$	4,79±0,42

Примечание: * – $p<0,05$ относительно контроля, # – $p=0,06$ относительно контроля.

Механизм регуляции OATP1B1 при воздействии S-нитрозоглутатиона

При инкубации клеток линии HepG2 с ингибитором рГЦ — ODQ относительное количество белка OATP1B1 статистически не отличалось от значений контроля (рис. 3а). В то же время при добавлении ODQ к S-нитрозоглутатиону ингибитор рГЦ препятствовал повышению количества транспортера под действием донора NO, количество OATP1B1 не отличалось от контрольных значений (рис. 3б). Полученные результаты свидетельствуют об участии биохимического каскада NO-рГЦ-сGMP в регуляции относительного количества OATP1B1 под действием S-нитрозоглутатиона.

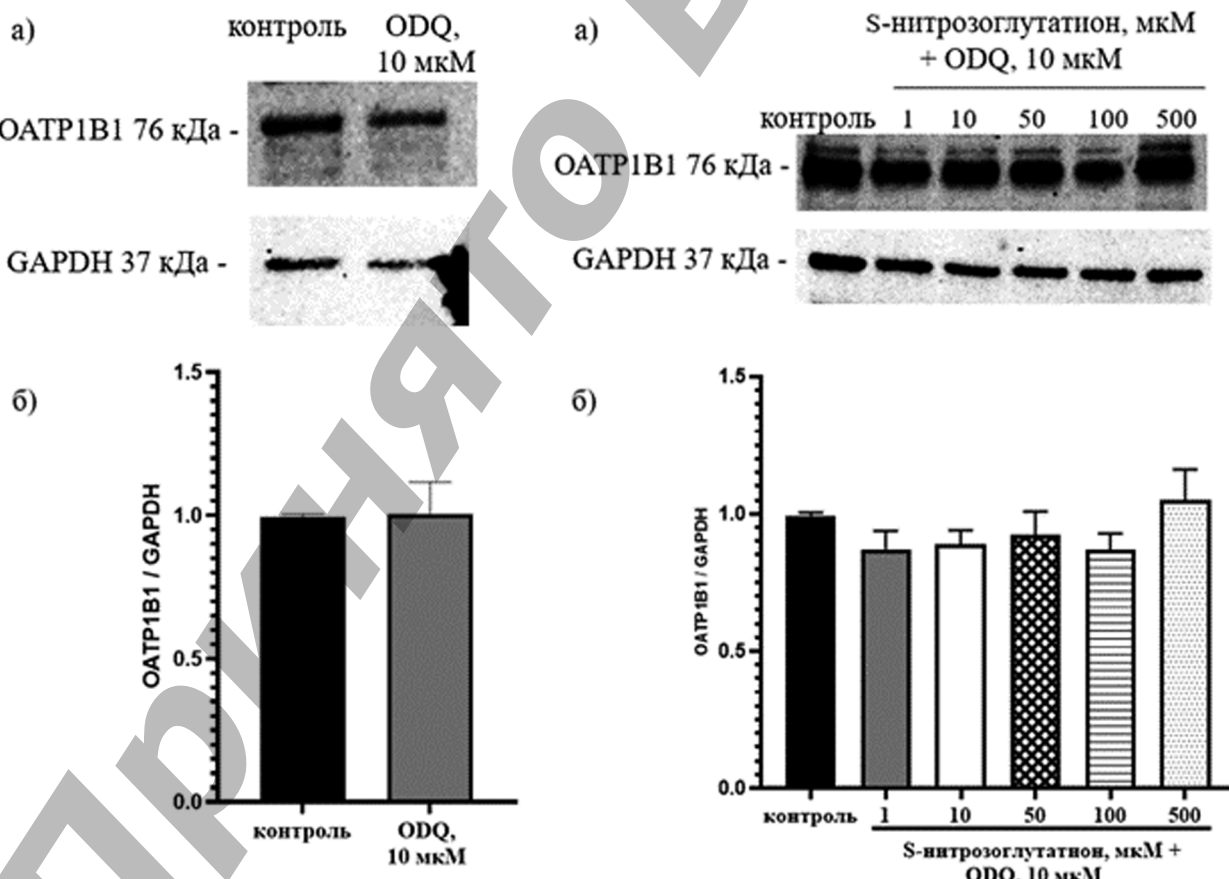


Рисунок 3. Относительное количество полипептида, транспортирующего органические анионы 1B1 (OATP1B1) в клетках линии HepG2 при самостоятельном воздействии ODQ, 10 мкМ и в сочетании с S-нитрозоглутатионом, 1–500 мкМ в течение 24 ч. Фото полос получены с помощью ChemiDocXRSt (а). Денситометрический анализ выполнили с помощью программного обеспечения ImageLab (б).

ВЛИЯНИЕ S-НИТРОЗОГЛУТАТИОНА НА ФУНКЦИОНИРОВАНИЕ ОАТР1В1

ОБСУЖДЕНИЕ

HepG2 — клеточная линия гепатоцеллюлярной карциномы человека с выраженным эпителиальным фенотипом, полученная из тканей печени мужчины европеоидного происхождения [15]. Линия клеток HepG2 является одной из наиболее широко используемых линий раковых клеток во многих биомедицинских исследованиях благодаря своей универсальности. Представляя человеческую эндовермальную линию клеток, HepG2 применяется в качестве моделей для исследований в области токсикологии, включая токсикогеномные скрининги с использованием CRISPR-Cas9, онкологии, заболеваний печени, механизмов регуляции генов, открытия биомаркеров и метаболизма лекарств, в том числе при участии белка-транспортера OATP1B1 [16, 17]. Именно поэтому клеточная линия HepG2 была выбрана для изучения молекулярных механизмов регуляции OATP1B1 при воздействии донора оксида азота S-нитрозоглутатиона.

OATP1B1 — инфлюксный белок-транспортер, играющий важную роль в проникновении его субстратов внутрь гепатоцитов и ряда других клеток. Субстратами данного переносчика являются такие лекарственные препараты, как статины, ингибиторы ангиотензинпревращающего фермента, сартаны, цитостатики и ряд других веществ [18]. OATP1B1 принимает участие в транспорте билирубина и снижение его активности может приводить к развитию “желтухи” [19]. Экспрессия OATP1B1 в опухолевых клетках способствует проникновению цитостатических субстратов внутрь клеток и снижена в клетках гепатоцеллюлярной карциномы [11]. Поэтому применение индукторов OATP1B1 теоретически может повысить эффективность противоопухолевой терапии [20, 21].

В настоящем исследовании было установлено, что донор NO — S-нитрозоглутатион — при длительности воздействия 24 ч является индуктором экспрессии и активности изучаемого белка OATP1B1. В частности, было показано, что S-нитрозоглутатион повышает экспрессию мРНК гена *SLCO1B1*, кодирующего OATP1B1, относительное количество белка-транспортера, а также проникновение его субстрата аторвастатина внутрь клеток HepG2, что свидетельствует о повышении и его активности.

На данный момент описано несколько механизмов регуляции для OATP1B1 [1]:

- 1) прямое ингибирование OATP1B1;
- 2) транскрипционная регуляция;
- 3) пост-транскрипционная регуляция;
- 4) пост-трансляционная регуляция (гликозилирование, убиквитирование, регуляция протеинкиназами);
- 5) полиморфизм гена *SLCO1B1*.

При концентрациях S-нитрозоглутатиона 10–500 мкМ отмечено повышение уровня мРНК *SLCO1B1* и количества белка OATP1B1. Это свидетельствует о том, что увеличение количества белка OATP1B1 регулируется экспрессией гена *SLCO1B1* в клетках линии HepG2.

При этом, при концентрации S-нитрозоглутатиона в концентрации 500 мкМ активность белка-транспортера не изменялась при повышенной экспрессии *SLCO1B1* и увеличении количества OATP1B1, что, вероятно, связано со структурной модификацией белка-транспортера (нитрозилированием его аминокислотных остатков) в условиях гиперпродукции NO [12].

S-нитрозоглутатион представляет собой эндогенное S-нитрозилированное производное глутатиона [22], которое и участвует в различных биохимических процессах, контролирующих гомеостаз. Считается, что S-нитрозоглутатион является донором NO; он может активировать классический рГЦ-сGMP-зависимый сигнальный путь или вызывать нитрозилирование определенных белков [23].

Учитывая данные обстоятельства, в заключительной части исследования была оценена роль сигнального пути NO-рГЦ-сGMP в индукции OATP1B1 под действием S-нитрозоглутатиона. В качестве ингибитора NO-сGMP сигнального пути применяли специфический блокатор рГЦ — ODQ. Известно, что ODQ окисляет молекулу гема в рГЦ без влияния на каталитический домен, тем самым снижая её активность [24]. В ходе работы было показано, что ODQ при самостоятельном воздействии не оказывал влияния на изменение количества белка-транспортера, однако при сочетанном применении с S-нитрозоглутатионом в течение 24 ч предотвращал повышение относительного количества OATP1B1 при концентрации донора NO 1–500 мкМ. Полученные результаты свидетельствуют об участии биохимического каскада NO-рГЦ-сGMP в регуляции относительного количества OATP1B1 под действием S-нитрозоглутатиона.

Ограничением данного исследования является то, что работа выполнена на одной клеточной линии HepG2 и активность OATP1B1 оценивали по проникновению внутрь клеток аторвастатина, который также является субстратом другого транспортера — OATP1B3 [25]. Однако на данный момент отсутствуют селективные субстраты OATP1B1, и для изучения влияния на OATP1B1 необходимо использовать рекомбинантные клеточные линии селективно сверхэкспрессирующие изучаемый транспортер (недостатком данного подхода является отсутствие регуляторных путей в данных клеточных линиях, которые представлены в гепатоцитах) или же одновременно применять ингибитор OATP1B3 в проводимых эксперимента (данных веществ также не много и их селективность подвергается сомнению).

ЗАКЛЮЧЕНИЕ

Таким образом, в ходе выполненного исследования установлено, что S-нитрозоглутатион, действуя через сигнальный путь NO-рГЦ-сGMP, повышает экспрессию гена *SLCO1B1*, что вызывает увеличение количества белка-транспортера и, как следствие, его активности. Полученные данные об индуцирующем действии S-нитрозоглутатиона

на OATP1B1 могут быть полезны для повышения эффективности терапии гепатоцеллюлярной карциномы за счёт увеличения проникновения цитостатиков-субстратов OATP1B1 внутрь клеток.

ФИНАНСИРОВАНИЕ

Работа выполнена из средств РязГМУ.

СОБЛЮДЕНИЕ ЭТИЧЕСКИХ СТАНДАРТОВ

Протокол исследования был одобрен биоэтической комиссией Рязанского государственного медицинского университета (РязГМУ) (протокол № 87 от 07.11.2023).

КОНФЛИКТ ИНТЕРЕСОВ

Авторы заявляют об отсутствии конфликта интересов.

ЛИТЕРАТУРА

- Svoboda M., Riha J., Wlcek K., Jaeger W., Thalhammer T.* (2011) Organic anion transporting polypeptides (OATPs): regulation of expression and function. *Curr. Drug Metab.*, **12**(2), 139–153. DOI: 10.2174/138920011795016863
- Schnegelberger R.D., Steiert B., Sandoval P.J., Hagenbuch B.* (2022) Using a competitive counterflow assay to identify novel cationic substrates of OATP1B1 and OATP1B3. *Front. Physiol.*, **8**(13), 969363. DOI: 10.3389/fphys.2022.969363
- Liu X.* (2019) SLC family transporters. *Adv. Exp. Med. Biol.*, **1141**, 101–202. DOI: 10.1007/978-981-13-7647-4_3
- Konig J., Cui Y., Nies A.T., Keppler D.* (2000) Localization and genomic organization of a new hepatocellular organic anion transporting polypeptide. *J. Biol. Chem.*, **275**(30), 23161–23168. DOI: 10.1074/jbc.M001448200
- Hagenbuch B., Gui C.* (2008) Xenobiotic transporters of the human organic anion transporting polypeptides (OATP) family. *Xenobiotica*, **38**(7–8), 778–801. DOI: 10.1080/00498250801986951
- Banerjee N., Allen C., Bendayan R.* (2012) Differential role of organic anion-transporting polypeptides in estrone-3-sulphate uptake by breast epithelial cells and breast cancer cells. *J. Pharmacol. Exp. Ther.*, **342**(2), 510–519. DOI: 10.1124/jpet.112.192344
- Wen J., Zhao M.* (2021) OATP1B1 Plays an important role in the transport and treatment efficacy of sorafenib in hepatocellular carcinoma. *Dis. Markers*, **26**, 9711179. DOI: 10.1155/2021/9711179
- Obaidat A., Roth M., Hagenbuch B.* (2012) The expression and function of organic anion transporting polypeptides in normal tissues and in cancer. *Annu. Rev. Pharmacol. Toxicol.*, **52**, 135–151. DOI: 10.1146/annurev-pharmtox-010510-100556
- Libra A., Fornetti C., Lorusso V., Visigalli M., Anelli P.L., Staud F., Tiribelli C., Pascolo L.* (2006) Molecular determinants in the transport of a bile acid-derived diagnostic agent in tumoral and nontumoral cell lines of human liver. *J. Pharmacol. Exp. Ther.*, **319**(2), 809–817. DOI: 10.1124/jpet.106.106591.
- Cui Y., König J., Nies A.T., Pfanschmidt M., Herdt M., Franke W.W., Alt W., Moll R., Keppler D.* (2003) Detection of the human organic anion transporters SLC21A6 (OATP2) and SLC21A8 (OATP8) in liver and hepatocellular carcinoma. *Lab. Invest.*, **83**(4), 527–538. DOI: 10.1097/01.lab.0000065015.02412.48.
- Briz O., Serrano M.A., Rebollo N., Hagenbuch B., Meier P.J., Koepsell H., Marin J.J.* (2002) Carriers involved in targeting the cytostatic bile acid-cisplatin derivatives cis-diammine-chloro-cholylglycinate-platinum(II) and cis-diammine-bisursodeoxycholate-platinum(II) toward liver cells. *Mol. Pharmacol.*, **61**(4), 853–860. DOI: 10.1124/mol.61.4.853.
- Шулькин А.В., Абаленихина Ю.В., Судакова Е.А., Мыльников П.Ю., Якушева Е.Н.* (2022) Механизмы регуляции функционирования белка-транспортера Р-гликопротеина под действием оксида азота. *Биохимия*, **87**(4), 523–538. [*Shchulkin A.V., Abalenikhina Y.V., Sudakova E.A., Mylnikov P.Y., Yakusheva E.N.* (2022) Mechanisms of regulation of the P-glycoprotein transporter protein functioning under the action of nitric oxide. *Biochemistry (Moscow)*, **87**(4), 366–379.] DOI: 10.1134/S000629792204006X
- Hwang, T.L., Wu C.C., Teng C.M.* (1998) Comparison of two soluble guanylyl cyclase inhibitors, methylene blue and ODQ, on sodium nitroprusside-induced relaxation in guinea-pig trachea. *Br. J. Pharmacol.*, **125**, 1158–1163. DOI: 10.1038/sj.bjp.0702181
- Ерохина П.Д., Мыльников П.Ю., Ганина С.О., Коняхин Е.А., Шулькин А.В., Слепnev А.А., Якушева Е.Н.* (2022) Разработка и валидация методики количественного определения аторвастатина в клетках линии HepG2 методом высокодействующей жидкостной хроматографии с масс-спектрометрическим детектированием. *Российский медико-биологический вестник имени академика И.П. Павлова*, **30**(2), 149–158. [*Erokhina P.D., Mylnikov P.Y., Ganina S.O., Konyakhin E.A., Shchul'kin A.V., Slepnev A.A., Yakusheva E.N.* (2022) Development and validation of the quantitative determination of atorvastatin in HepG2 cell line using high-performance liquid chromatography with mass-spectrometric detection. *I.P. Pavlov Russian Medical Biological Herald*, **30**(2), 149–158.] DOI: 10.17816/PAVLOVJ100986
- López-Terrada D., Cheung S.W., Finegold M.J., Knowles B.B.* (2009) Hep G2 is a hepatoblastoma-derived cell line. *Hum. Pathol.*, **40**(10), 1512–1515. DOI: 10.1016/j.humpath.2009.07.003
- Chatuphonprasert W., Tukum-Mee W., Wattanathorn J., Jarukamjorn K.* (2022) Impact of pineapple juice on expression of CYP3A4, NAT2, SULT1A1 and OATP1B1 mRNA in HepG2 cells. *Pak. J. Biol. Sci.*, **25**(1), 15–22. DOI: 10.3923/pjbs.2022.15.22
- Choi J.M., Oh S.J., Lee S.Y., Im J.H., Oh J.M., Ryu C.S., Kwak H.C., Lee J.Y., Kang K.W., Kim S.K.* (2015) HepG2 cells as an *in vitro* model for evaluation of cytochrome P450 induction by xenobiotics. *Arch. Pharm. Res.*, **38**(5), 691–704. DOI: 10.1007/s12272-014-0502-6
- Alam K., Crowe A., Wang X., Zhang P., Ding K., Li L., Yue W.* (2018) Regulation of organic anion transporting polypeptides (OATP) 1B1- and OATP1B3-mediated transport: an updated review in the context of OATP-mediated drug-drug interactions. *Int. J. Mol. Sci.*, **19**(3), 855. DOI: 10.3390/ijms19030855
- Zhang W., He Y.J., Gan Z., Fan L., Li Q., Wang A., Liu Z.Q., Deng S., Huang Y.F., Xu L.Y., Zhou H.H.* (2007) OATP1B1 polymorphism is a major determinant of serum bilirubin level but not associated with rifampicin-mediated bilirubin elevation. *Clin. Exp. Pharmacol. Physiol.*, **34**(12), 1240–1244. DOI: 10.1111/j.1440-1681.2007.04798.x

ВЛИЯНИЕ S-НИТРОЗОГЛУТАТИОНА НА ФУНКЦИОНИРОВАНИЕ ОАТР1В1

20. Whisenant T.C., Nigam S.K. (2022) Organic anion transporters (OAT) and other SLC22 transporters in progression of renal cell carcinoma. *Cancers (Basel)*, **14**(19), 4772. DOI: 10.3390/cancers14194772
21. Shi C., Wu J.B., Chu G.C., Li Q., Wang R., Zhang C., Zhang Y., Kim H.L., Wang J., Zhou H.E., Pan D., Chung L.W. (2014) Hep-tamethine carbocyanine dye-mediated near-infrared imaging of canine and human cancers through the HIF-1 α /OATPs signaling axis. *Oncotarget.*, **5**(20), 10114–10126. DOI: 10.18632/oncotarget.2464
22. Broniowska A.K., Diers A.R., Hogg N. (2013) S-nitrosoglutathione. *Biochim. Biophys. Acta*, **1830**(5), 3173–3181. DOI: 10.1016/j.bbagen.2013.02.004
23. Zhang Y., Sun C., Xiao G., Shan H., Tang L., Yi Y., Yu W., Gu Y. (2019) S-nitrosylation of the peroxiredoxin-2 promotes S-nitrosoglutathione-mediated lung cancer cells apoptosis via AMPK-SIRT1 pathway. *Cell Death Dis.*, **10**(5), 329. DOI: 10.1038/s41419-019-1561-x
24. Zhao Y., Brandish P.E., di Valentin M., Schelvis J.P., Babcock G.T., Marletta M.A. (2000) Inhibition of soluble guanylate cyclase by ODQ. *Biochemistry*, **39**(35), 10848–10854. DOI: 10.1021/bi9929296
25. Garrison D.A., Talebi Z., Eisenmann E.D., Sparreboom A., Baker S.D. (2020) Role of OATP1B1 and OATP1B3 in drug-drug interactions mediated by tyrosine kinase inhibitors. *Pharmaceutics*, **12**(9), 856. DOI: 10.3390/pharmaceutics12090856

Поступила в редакцию: 05. 06. 2024.
После доработки: 21. 08. 2024.
Принята к печати: 19. 09. 2024.

INDUCING EFFECT OF S-NITROSOGLUTATHIONE ON THE EXPRESSION AND ACTIVITY OF A POLYPEPTIDE TRANSPORTING ORGANIC ANIONS 1B1 (OATP1B1) IN HepG2 CELLS

**O.N. Suchkova¹, Yu.V. Abalenikhina¹, A.V. Shchul'kin¹, P.Yu. Myl'nikov¹,
F.T. Gadzhiyeva¹, P.D. Kochanova¹, M.G. Uzbekov², E.N. Yakusheva¹**

¹Ryazan State Medical University,
9 Vysokovoltnaya str., Ryazan, 390026 Russia; *e-mail: abalenikhina88@mail.ru
²Moscow Scientific Research Institute of Psychiatry, Moscow, Russia

In a study on HepG2 cells, the effects of the nitric oxide donor S-nitrosoglutathione on the amount and activity of the polypeptide transporting organic anions, 1B1 (OATP1B1), as well as the expression of the *SLCO1B1* gene encoding the transporter protein were studied. In the course of the work, it was found that S-nitrosoglutathione, with a duration of exposure of 3 hours, did not affect the amount and activity of OATP1B1. With an increase in the incubation period to 24 hours, the expression of *SLCO1B1* under the action of S-nitrosoglutathione at concentrations of 10, 50 μ M by 40 times ($p<0.0001$), 100 and 500 μ M ($p=0.0003$). The relative amount of OATP1B1 during incubation with S-nitrosoglutathione at a concentration of 1 μ M did not change, but at concentrations of 10, 50, 100 and 500 μ M increased by 136.7% ($p=0.0003$), 154.1% ($p<0.0001$), 124.5% ($p=0.0006$), 131.6% ($p=0.0004$) accordingly, this was accompanied by an increase in the activity of the transporter protein. The induction of the amount of OATP1B1 was suppressed when a soluble guanylate cyclase inhibitor (rGC) was added to the nutrient medium. Thus, in this study, it was found that S-nitrosoglutathione increases the expression of the *SLCO1B1* gene encoding OATP1B1, the relative amount of the transporter protein, and also increases its activity, acting through the NO-rGC-cGMP signaling pathway.

The whole English version is available at <http://pbmc.ibmc.msk.ru>.

Key words: OATP1B1; *SLCO1B1* gene; S-nitrosoglutathione; NO-rGC-cGMP-signaling pathway

Funding. The work was carried out from the funds of the Federal State Budgetary Educational Institution of Ryazan State Medical University.

Received: 05.06.2024; revised: 21.08.2024; accepted: 19.09.2024.